

รายการอ้างอิง

ภาษาไทย

กรมควบคุมมลพิช. 2543. มาตรฐานคุณภาพน้ำและเกณฑ์ระดับคุณภาพน้ำในประเทศไทย : Water quality standard&criteriain in Thailand. กรุงเทพมหานคร: กรมควบคุมมลพิช.

ธงชัย พรรณสวัสดิ์ และวิบูลย์ลักษณ์ วิสุทธิศักดิ์. 2540. คู่มือวิเคราะห์น้ำเสีย. พิมพ์ครั้งที่ 3. โรงพิมพ์เรือนแก้วการพิมพ์. สมาคมวิศวกรสิ่งแวดล้อมแห่งประเทศไทย.

ธีรา妮 โชติกไกร และชาญ จรวยาวนิชย์. 2534. ไดอะทอยไมเตอร์ แหล่งน้ำแม่โขเจ้า. แม่ทะ จ. ลำปาง. การประชุมวิชาการวิทยาศาสตร์และเทคโนโลยีแห่งประเทศไทยครั้งที่ 17 (วทท. 17). มหาวิทยาลัยขอนแก่น.

นพธีรา สรรมณี. 2541. เคมีสิ่งแวดล้อม. พิมพ์ครั้งที่ 2. นครปฐม: ภาควิชาวิทยาศาสตร์สิ่งแวดล้อมคณะวิทยาศาสตร์ มหาวิทยาลัยศิลปากร.

เพ็ชรจิตต์ ชัยศรีสวัสดิ์สุข. 2527. การลดปริมาณไฮยาในดินน้ำทึ้งจากกระบวนการขับโลหะด้วยทองแดง โดยวิธีออกซิเดชันด้วยเกลือไฮโปคลอไรต์. วิทยานิพนธ์ปริญญาวิทยาศาสตร์มหาบัณฑิต (สาขาวิชานิเทศศาสตร์) สาขานามัยสิ่งแวดล้อม. บัณฑิตวิทยาลัย มหาวิทยาลัยมหิดล. มงคล สุทธิวัฒนกุล และจาลูวรรณ วิรະวงศ์นุสร. 2542. วิธีกำจัดไฮยาในดินน้ำทึ้ง. วารสารโรงงาน 17 ฉบับที่ 3 (มิถุนายน-กันยายน): 25-27.

ไมตรี สุทธิจิตต์. 2531. สารพิษรอบตัวเรา. พิมพ์ครั้งที่ 1. เชียงใหม่: ภาควิชาชีวเคมี คณะแพทยศาสตร์ มหาวิทยาลัยเชียงใหม่.

รัชนี วัชรคุปต์ และชาญ จรวยาวนิชย์. 2533. ไดอะทอยไมเตอร์ แร่อุตสาหกรรมสำหรับอนาคต. ข่าวสารการธุรกิจ. 35(9): 25-30.

สุจิตรา พิตราภุล. 2530. แหล่งแร่ และแร่ในอุตสาหกรรม. พิมพ์ครั้งที่ 1. เชียงใหม่: ศูนย์ส่งเสริมตำราและเอกสารวิชาการ มหาวิทยาลัยเชียงใหม่.

เสริมพล รัตสุข และไชยยุทธ กลินสุคนธ์. 2525. การกำจัดน้ำทึ้งจากโรงงานอุตสาหกรรมและแหล่งชุมชน. กรุงเทพมหานคร: โรงพิมพ์สถาบันวิจัยวิทยาศาสตร์เทคโนโลยีแห่งประเทศไทย.

ភាសាខ្មែរ

- Adams, M.D. 1994. Removal of Cyanide from Solution using Activated carbon. Mineral Engineering. 7(9): 1165-1177.
- Agdi, K.,et al. 2000. Removal of Atrazine and Chlorpyriphos from aqueous solutions by absorption on Diatomaceous earth – Competitive adsorption. The International of Environmental Studies. Vol 3.
- Allen, L.A., Blezard, N. and Wheatland, A.B. 1948. Formation of Cyanogen Chloride During Chlorination of Certain Liquids. Toxicity of Such Liquids to Fish J. Hyg. 46: 184-193.
- ASTM D2036 – 98. 1998. Standard Test Methods for Cyanides in water. Annual Book of ASTM Standards. 11.02 : 79-97.
- Atanasov, At.P. 1972. Production of Support for GC from Bulgarian Kieselguhr II Effect of the Kind of Impurity Removal on the Properties of the Support. 5(1): 73-79.
- Atanasov, A. and Shterev, G. 1974. Production of GC Carries from Bulgarian Kieselguhr IV Production of a Carrier from Kieselguhr at the Gurmen Deposit, Blagoevgrad. Nachni Tr. Plovski University. 12(3): 75-81.
- Aytas, S.,et al. 1999. Removal of uranium from aqueous solutions by diatomite (Kieselguhr). Journal of Radioanalytical and Nuclear Chemistry. 240(3) : 973-976.
- Bassi, R. ; Prasher, S.O. and Simpson B. K. 2000. Removal of Selected Metal Ions from Aqueous Solution Using Chitosan Flakes. Separation Science and Technology. 35(4): 547-560.
- Bittell, J.E., and Miller, R.J. 1974. Lead, Cadmium, and Calcium Selectivity Coefficients on a Montmorillonite,Illite, and Kaolinite. Journal of Environmental Quality.3(3) : 250-253.
- Bridge, WR. 1958. Sodium Cyanide as a Fish Poison. Spe. Sci. Rep. Fish. 11: 253.
- Broderius, S.J. 1973. Determination of Molecular Hydrocyanic Acid in Water and Stuies of the Chemistry and Toxicity to Fish of Metal Cyanide Complexes. Ph.D. Thesis, Oregon State University.

- Bucksteeg, W. and Thiele, H. 1957. Possibilities of Experimental Assessment of Population Equivalents for Industrial Wastes. Gas Wasserfash. 98: 909-910.
- Chakravarty, R., et al. 1998. Static removal of Copper(II) from aqueous solutions by hematite. Environmental Technology. 19(3) : 315-322.
- Congar, PS. 1942. Accumulation of Diatomaceous Deposites. J. Sed. Petrol. 12(2): 55-66.
- Cyanide-Selective Electrode Method. 1998. Standard Methods for the Examination of Water and Wastewater. 20 th ed., pp. 4-40 – 4-41.
- Demyanenko, V.N. 1931. Poisoning of Fish by wastewaters from Chemical factories and the Fish test. Gig. Epidemiol. 10(6/7): 13-20.
- Dowing, K.M. 1954. The Influence of Dissolved Oxygen on the Toxicity of Potassium Cyanide to Rainbow Trout. J. Exp. Biol. 31: 161-164.
- Doudoroff, P. 1956. Some Experiments on the Toxicity of Complex Cyanide to Fish. Sewage Ind. Wastes. 28: 1020.
- Doudoroff, P., Leduc, G. and Schneider, C.R. 1966. Acute Toxicity to Fish of Solutions containing Complex Metal Cyanides in Relation to Concentrations of Molecular Hydrocyanic Acid. Trans Am. Fish. Soc. 95: 6-22.
- Eckenfelder, Jr. 1966. Industrial Water Pollution Control. New York: McGraw-Hill.
- Edmonds, C.J. 1974. Cyanide Destruction Gold Mill Effluents. Chemical Abstract 80: 6441n.
- Ellis, MM. 1937. Detection and Measurement of stream Pollution. Bur. Fish. Bull. 22(48): 365-437.
- Ganczarczyk, J.J., Takaoka, P.T. and Ohashi, D.A. 1985. Application of Polysulfide for Pretreatment of Spent Cyanide Liquors. WPCF J. 57(11): 1089-1093.
- Great Britain. 1953. Department of Scientific and Industrial Research. Water Pollution Research 1952. London: H.M. Stationery Office, 42-45.
- Great Britain. 1968. Ministry of Technology. Water Pollution Research 1967. London: H.M. Stationery Office, 60-65.

- Guo, R., et al. 1993. Sorption of low levels of cyanide by granular activated carbon. Water Environmental Research. 65 : 640-644.
- Henderson, C., Pickering, Q.H. and Lemke, A.E. 1961. The Effects of Some Organic Cyanides (Nitriles) on Fish. 15 th ed., Ind. Waste Conf. 45(2): 120-130.
- Hendrickson, T.N. and Daignault, L.G. 1973. Treatment of Complex Cyanide Compounds for Reuse or Disposal. Washington D.C.: GPO Bookstore.
- Honda, A., et al. 1973. Cadmium-Plating Waste water Treatment. Chemical Abstract. 79: 57400r.
- Huang, C.P. and Wu, M.H. 1977. The Removal of Chromium (VI) from Dilute Aqueous Solution by Activated Carbon. Water Research. 11: 673.
- Inove, T., et al. 1937. Decomposition of Potassium Ferri-Cyanide and Potassium Ferro-Cyanide in Waste Solution. Chemical Abstract 79: 139563k.
- Iseng, Szu-kung. 1974. Treatment of Cyanide waste. Chemical Abstract 80 : 112202a.
- Kadey L. and Frederic, JR. 1983. Diatomite. Industrial Minerals and Rocks. 2 vols. 5 th ed., pp. 677-708. Maryland: Port City Press.
- Kato, I. 1973. Treatment of Wastewater Containing Complex Cyanide. Chemical Abstract 79: 96674e.
- Lancy, L.E. 1986. Determination of Cyanides Which Can Be Decomposed by An Alkali and Chlorine Treatment. Chemical Abstract 69: 12779y.
- Lee, M.C., Crittenden, J.C., Snoeying, V.L., and Ari,M. 1983. Design of Carbon beds to remove humic substances. J. of Environmental Engineering., 631-645.
- Mathers, SJ. 1989. Costa Rican Diatomite : a review of existing knowledge and future potential. Rev. Geol. Amer. Central. 10: 3-17.
- Mathews, A.P., and Zayas, I. 1989. Particle size and shape effects on adsorption rate parameters. J. of Environmental Engineering., 41-55.
- Montgomery, J.M. 1985. Waste treatment principles and design. New York: John Wiley & Sons.

- Ottenstein, D.M. 1963. Column Support Materials for Use in Gas Chromatography. J. Gas Chromatogr. 1: 11-23.
- Patty, FA. 1973. Industrial Hygiene and Toxicology. 2 nd ed. Rev. New York: Interscience.
- Pettijohn, P.J. 1957. Sedimentary Rocks. 2 nd ed. New York: Harper & Raw, 435.
- Ruby, SM., et al. 1979. Inhibition of Spermatogenesis in Rainbow Trout. Arch. Environ. Contam. Toxicol.(Can.) 8(5): 533.
- Savin, NA., et al. 1979. Automation of the Purification Process for Cyanide Containing Wastes Water From Chemical Complex. Chemical Abstract 90 : 11743d.
- Saxana, S., et al. 2001. Adsorption of Cyanide from Aqueous Solution at Pyrophyllite Surface. Separation and Purification Technology. 24: 263-270.
- Schuat, G.G. 1939. Fish Catastrophies during Droughts. J. Am. Water Works Assoc. 31: 771-821.
- Seller, H.G., and Sigel, H.M. 1988. Handbook on toxicity of inorganic compounds. New York : Marcel Dekker, 198-199.
- Smith, RP. 1996. Toxic response of the blood. The basic science of poisons. New York: McGraw-Hill, 350-351.
- Srimurali, M., e t al. 1998. A study on a removal of fluorides from drinking water by adsorption onto low-cost materials. Environmental Pollution. 99 : 285-289.
- Stumm, W., Woker, H. and Fischer, H.U. 1954. Detoxification of Wastewaters Containing Cyanide by Oxidation with Hypochlorite. Schweiz. Z. Hydrol. 16: 1-21.
- Talliaferro, NL. 1933. The Relation of Volcanism to Diatomaceous and Associated Siliceous Sediments Geological Science. University California Publish.23: 1-55.
- Vogel, SN. And Sulton, TR. 1981. Cyanide poisoning. Clin Toxicol. 18: 367-383.
- Wallen, I.E., Greer, W.C. and Lasater, R. 1957. Toxicity to Gambusiaaffinis of Certain Pure Chemicals in Turbid Waters. Sewage Ind. Wastes. 29: 695-711.
- Washburn, G.N. 1948. The Toxicity to Warm-Water Fish of Certain Cyanide Plating and Carburizing Salts before and after Treatment by the Alkali-Chlorination Method. Sewage Works J. 20: 1074-1083.

- Wuhrmann, K. and Woker, H. 1948. Contributions to fish Toxicology: Experimental Investigation of Ammonia and Hydrocyanic Acid Poisoning. Schweiz. Z. Hydrol. 11: 210-244.
- Yoshitomi, Kenichiro. 1985. Decompostion Treatment of Wastewater Containing Cyanide Ion in the Laboratory. Chemical Abstract 92 : 99053d.



ศูนย์วิทยทรัพยากร
จุฬาลงกรณ์มหาวิทยาลัย



ភាគុជ្ជនវក

គម្រោងក្រសួងអប់រំ
សាខាដែនការពាណិជ្ជកម្ម

ภาคผนวก ก

การหาไฮยาไนด์ไอออน ด้วย Selective Ion Electrode

หลักการ ตามวิธีของ ASTM D 2036 – 98

ข้อบอกรหุต

การหาไฮยาไนด์ไอออนด้วยทฤษฎีนี้ ครอบคลุมการหาไฮยาไนด์ในน้ำทั้งหมด (total cyanide) การหาโดยวิธี selective ion electrode จะสามารถหาความเข้มข้นของไฮยาไนด์ได้

สิ่งรบกวนในการวิเคราะห์ไฮยาไนด์

สารพากออกซิไดส์ซิงເຄເຈນ໌ (oxidizing agent) , ຊັດໄຟດໍ (sulfides) , ຂັດຕີຢີ່ (aldehydes) , ກລູໂຄສ ແລະ ນໍາຕາລອື່ນໆ , ອາວົບອນແນດທີ່ມີຄວາມເຂັ້ມເຂັ້ນສູງ , fatty acid , thiocyanate ແລະ ສາປະກອບຕ່າງໆທີ່ມີຊັດເພົ່ງ

การเติมสารละลาย

1. Sodium Hydroxide Solution (40 g/L)

ละลาย sodium hydroxide (NaOH) 40 กรัม ละลายในน้ำ 1 ลิตร

2. Sodium Hydroxide Solution (1.6 g/L)

เจือจาง NaOH (40 g/L) ປົມມາຕາງ 40 ມິლິລິຕຣາໃນນ້ຳ 1 ລິຕຣາ

3. Cyanide Solution , Stock (250 mg/L)

ละลายโซเดียมไฮยาไนດ໌ (NaCN) 0.4707 กรัม ใน 40 ມິລິລິຕຣາຂອງสารละลาย
โซเดียมไฮดรอกไซດໍ 40 กรัมຕ່ອລິຕຣາ (NaOH 40 g/L) ປັບປົມມາຕຽນ້າໃຫ້ເປັນ 1
ລິຕຣາ

4. Cyanide Solution (1000 mg/L)

ละลายโซเดียมไฮยาไนດ໌ (NaCN) 1.88 กรัม ในน້ຳ 1 ລິຕຣາ

เติร์ยมสารละลายน้ำตราชูน

1. สารละลายน้ำตราชูนโซเดียมไฮยาไนด์ 25 มิลลิกรัมต่อลิตร (NaCN 25 mg/L)
เจือจางสารละลายน้ำตราชูนโซเดียมไฮยาไนด์ 250 มิลลิกรัมต่อลิตร (NaCN 250 mg/L) 10 มิลลิลิตร ใน สารละลายน้ำตราชูนโซเดียมไฮดรอกไซด์ 1.6 กรัมต่อลิตร (NaOH 1.6 g/L) ในขวดวัดปริมาตร 100 มิลลิลิตร
2. สารละลายน้ำตราชูนโซเดียมไฮยาไนด์ 2.5 มิลลิกรัมต่อลิตร (NaCN 2.5 mg/L)
เจือจางสารละลายน้ำตราชูนโซเดียมไฮยาไนด์ 25 มิลลิกรัมต่อลิตร (NaCN 25 mg/L) 10 มิลลิลิตร ใน สารละลายน้ำตราชูนโซเดียมไฮดรอกไซด์ 1.6 กรัมต่อลิตร (NaOH 1.6 g/L) ในขวดวัดปริมาตร 100 มิลลิลิตร
3. สารละลายน้ำตราชูนโซเดียมไฮยาไนด์ 0.25 มิลลิกรัมต่อลิตร
(NaCN 0.25 mg/L)
เจือจางสารละลายน้ำตราชูนโซเดียมไฮยาไนด์ 2.5 มิลลิกรัมต่อลิตร (NaCN 2.5 mg/L) 10 มิลลิลิตร ใน สารละลายน้ำตราชูนโซเดียมไฮดรอกไซด์ 1.6 กรัมต่อลิตร (NaOH 1.6 g/L) ในขวดวัดปริมาตร 100 มิลลิลิตร
4. สารละลายน้ำตราชูนโซเดียมไฮยาไนด์ 0.025 มิลลิกรัมต่อลิตร
(NaCN 0.025 mg/L)
เจือจางสารละลายน้ำตราชูนโซเดียมไฮยาไนด์ 0.25 มิลลิกรัมต่อลิตร (NaCN 0.25 mg/L) 10 มิลลิลิตร ใน สารละลายน้ำตราชูนโซเดียมไฮดรอกไซด์ 1.6 กรัมต่อลิตร (NaOH 1.6 g/L) ในขวดวัดปริมาตร 100 มิลลิลิตร
5. สารละลายน้ำตราชูนโซเดียมไฮยาไนด์ 0.0125 มิลลิกรัมต่อลิตร
(NaCN 0.0125 mg/L)
เจือจางสารละลายน้ำตราชูนโซเดียมไฮยาไนด์ 0.025 มิลลิกรัมต่อลิตร (NaCN 0.025 mg/L) 50 มิลลิลิตร ใน สารละลายน้ำตราชูนโซเดียมไฮดรอกไซด์ 1.6 กรัมต่อลิตร (NaOH 1.6 g/L) ในขวดวัดปริมาตร 100 มิลลิลิตร

เติมสารละลายน้ำมาตรฐาน (ต่อ)

6. สารละลายน้ำมาตรฐานโซเดียมไซยาไนด์ 0.0025 มิลลิกรัมต่อลิตร
(NaCN 0.0025 mg/L)

เจือจางสารละลายน้ำมาตรฐานโซเดียมไซยาไนด์ 0.025 มิลลิกรัมต่อลิตร (NaCN 0.025 mg/L) 10 มิลลิลิตร ใน สารละลายน้ำโซเดียมไฮดรอกไซด์ 1.6 กรัมต่อลิตร (NaOH 1.6 g/L) ในขวดวัดปริมาตร 100 มิลลิลิตร

การวิเคราะห์

Standardization :

- นำสารละลายน้ำมาตรฐานโซเดียมไซยาไนด์ 0.0025 มิลลิกรัมต่อลิตร ใส่ในบิกเกอร์ 50 มิลลิลิตร วางบนแมกเนติกสเตอเรอร์ (magnetic stirrer) ใส่แท่งคน (stirrer bar) ปรับอัตราการคนให้คงที่
- ใส่ cyanide ion electrode และ refference electrode ลงในสารละลายน้ำ ช่านค่า potential จากเครื่อง บันทึกผล
- นำสารละลายน้ำมาตรฐานโซเดียมไซยาไนด์ 0.0125, 0.025, 0.25, 2.5 และ 25 มิลลิกรัมต่อลิตร ตามลำดับ ไปวัดหา potential และบันทึกผล จากนั้น นำไป เชียนกราฟระหว่างความเข้มข้น และ potential ของไซยาไนด์ไอโอดอน

หาสารละลายน้ำอย่าง :

- นำสารละลายน้ำไซยาไนด์ ใส่ในบิกเกอร์ 50 มิลลิลิตร วางบนแมกเนติกสเตอเรอร์ (magnetic stirrer) ใส่แท่งคน (stirrer bar) ปรับอัตราการคนให้คงที่
- ใส่ cyanide ion electrode และ refference electrode ลงในสารละลายน้ำ ช่านค่า potential จากเครื่อง บันทึกผล
- นำผลที่ได้ไปเทียบกับกราฟสารละลายน้ำไซยาไนด์มาตรฐานที่สร้างไว้ก่อนนี้ แล้วหา ค่าความเข้มข้นของไซยาไนด์ไอโอดอน

ภาคนวาก ๖

แหล่งที่พนสารประกอบไซยาไนด์

1. แหล่งธรรมชาติ

แบคทีเรีย (Cyanogenic bacteria) ได้แก่

Chromobacterium violaceum

Pseudomonas aeruginosa

Pseudomonas chloraphis

Pseudomonas fluorescens

สาหร่าย (Cyanogenic algae) ได้แก่

Chlorella vulgaris

Nostoc muscorum

Plectonema boryanum

Anacystis nidulans

ราทีก่อให้เกิดโรคที่ผลิตไซยาไนด์ (Pathogenic fungi generating cyanide) ได้แก่

Marasmius oreades

Stemphyllium loti

Gloeocercospora sorghii

พืช (Cyanogenic crops)

ถั่วอัลมอนด์ (almonds)

มันสำปะหลัง (cassava)

แอปเปิล (apple)

โลควัท (loquat)

ถั่วลิมา (lima beans)

2. แหล่งอุตสาหกรรม

การชุบโลหะด้วยไฟฟ้า (electroplating industries)

โรงงานผลิตก๊าซจากถ่านหิน (coal – gasification plants)

โรงงานผลิตก๊าซ (manufactured gas plants)

โรงงานผลิตเส้นใยสังเคราะห์ (synthetic – fiber – producing plants)

โลหกรรม (metallurgy and metal – cleaning operations)

การถุงโลหะมูลค่าสูง (recovery of precious metals)

กระบวนการพืชที่มีไซยาไนด์ (processing of cyanogenic crops)

อุตสาหกรรมเภสัชเคมี (pharmaceutical chemistry industries)

อุตสาหกรรมผลิตสี (paint – manufacturing industries)

ศูนย์วิทยทรัพยากร
จุฬาลงกรณ์มหาวิทยาลัย

ภาคผนวก ค

ประสิทธิภาพและความสามารถในการดูดซับไซยาไนด์ไอออน

1. ผลของความเข้มข้นที่เหมาะสมในการดูดซับ

ตารางที่ ค-1 ผลของความเข้มข้นที่เหมาะสมในการดูดซับ

[CN] เริ่มต้น : Co (ppm)	wt.diatomite (g.)	[CN] สมดุล : Ce (ppm)	Cyanide adsorption, %	Adsorption capacity : q (mg/g)
0.10	1.00	<0.03	>99.00	0.01
0.50	1.00	<0.03	>99.00	0.04
1.00	1.01	0.07	93.10	0.07
5.00	1.01	0.60	85.00	0.33
10.00	1.01	2.00	81.00	0.60
20.00	1.00	8.62	56.90	0.85
30.00	1.00	24.35	18.80	0.42

2. ผลของ pH ที่เหมาะสมในการดูดซับ ที่ความเข้มข้นไชยาไนด์ 0.5 ppm

ตารางที่ ค-2 ผลของ pH ที่เหมาะสมในการดูดซับ

pH	wt.diatomite (g.)	[CN] สมดุล : Ce (ppm)	Cyanide adsorption, %	Adsorption capacity : q (mg/g)
7	1.00	0.03	93.40	0.04
8	1.00	0.03	93.80	0.04
9	1.00	0.03	94.60	0.04
10	1.00	0.03	93.60	0.04
11	1.00	0.12	76.60	0.03
12	1.00	0.40	19.80	0.01

3. ผลของเวลาสัมผัสที่เหมาะสมในการดูดซับ ที่ความเข้มข้นไชยาไนด์ 0.5 ppm , pH 9.0

ตารางที่ ค-3 ผลของเวลาสัมผัสที่เหมาะสมในการดูดซับ

เวลาสัมผัส (hr.)	wt.diatomite (g.)	[CN] สมดุล : Ce (ppm)	Cyanide adsorption, %	Adsorption capacity : q (mg/g)
3	1.00	0.04	91.40	0.04
6	1.00	0.04	91.60	0.04
9	1.00	0.03	93.20	0.03
12	1.00	0.03	93.60	0.03
24	1.00	0.03	93.60	0.04
36	1.00	<0.03	>99.00	0.04

4. ผลของปริมาณดินเบ้าและความเข้มข้นของไซยาไนด์ออกอน ที่เหมาะสมในการดูดซับ , pH 9.0

ตารางที่ ค-4 ผลของปริมาณดินเบ้าและความเข้มข้นของไซยาไนด์ออกอน ที่เหมาะสมในการดูดซับ

wt.diatomite (g)	[CN] เริ่มต้น :Co (ppm)	[CN] สมดุล : Ce (ppm)	Cyanide adsorption, %	Adsorption capacity : q (mg/g)
0.10	1.00	0.14	86.20	0.65
0.10	2.00	0.20	90.20	1.35
0.10	5.00	0.31	88.50	3.52
0.10	10.00	1.48	66.60	6.39
0.30	1.00	0.12	87.70	0.22
0.30	2.00	0.18	91.10	0.46
0.30	5.00	0.50	90.10	1.13
0.30	10.00	1.39	68.70	2.15
0.50	1.00	0.06	94.10	0.14
0.50	2.00	0.12	94.20	0.28
0.50	5.00	0.33	93.50	0.70
0.50	10.00	1.26	71.50	1.31

ตารางที่ ค-4 (ต่อ)

ตารางที่ ค-4 (ต่อ)

wt.diatomite (g)	[CN] เริ่มต้น :Co (ppm)	[CN] สมดุล : Ce (ppm)	Cyanide adsorption, %	Adsorption capacity : q (mg/g)
1.00	1.00	0.03	96.40	0.07
1.00	2.00	0.08	95.80	0.14
1.00	5.00	0.26	94.90	0.36
1.00	10.00	0.78	82.30	0.69
<hr/>				
1.50	1.00	0.03	96.90	0.05
1.50	2.00	0.08	96.00	0.10
1.50	5.00	0.25	95.00	0.24
1.50	10.00	1.66	83.40	0.42

ศูนย์วิทยทรัพยากร
จุฬาลงกรณ์มหาวิทยาลัย

5. เปรียบเทียบประสิทธิภาพการดูดซับ “ไนโตรเจน” ออกอันระห่ำกว่า Activated carbon (Filitra 300) และ ตินเนบा (diatomite) ที่สภาวะ
ปริมาณ Activated carbon ต่อตินเนบा 1 : 1 , ความเข้มข้นของ “ไนโตรเจน” ออกอันระห่ำ 0.5 ppm , pH 9.0

ตารางที่ ๓ – ๕ แสดงผลการเปรียบเทียบประสิทธิภาพและความสามารถในการดูดซับ “ไนโตรเจน” ออกอันระห่ำ Activated carbon (Filitra 300)
และ ตินเนบा (Diatomite) เมื่อเวลาสัมผัสด้วยกัน

เวลาสัมผัส (Hr.)	Activated Carbon (Filitra 300)			Diatomite		
	[CN] ⁻ สมุด : Ce (ppm)	CN adsorption,%	capacity adsorption: q (mg/g)	[CN] ⁻ สมุด : Ce (ppm)	CN adsorption,%	capacity adsorption: q (mg/g)
1	0.06	89.00	0.03	0.06	88.70	0.03
3	0.04	91.40	0.03	0.05	90.70	0.03
5	0.03	93.40	0.04	0.04	91.50	0.03
7	0.04	91.60	0.03	0.03	93.80	0.04
9	0.03	94.60	0.04	<0.03	>99.00	0.04
12	<0.03	>99.00	0.04	<0.03	>99.00	0.04

6. ប្រឈមព័ត៌មានភីការងារទូប់ឲ្យយាបនៃកូខនសរអង់គ្គ។ Activated carbon (ប្រឈមកុឡិយណ) និង diatomite (diatomite) ដើរាងរបៀបប្រឈមព័ត៌មានភីការងារទូប់ឲ្យយាបនៃកូខនសរអង់គ្គ។
ក្រុមាន Activated carbon ទៅតិចប្រាំ 1 : 1 , គាម្លើមុខងារឲ្យយាបនៃកូខនសរអង់គ្គ។ pH 9.0

តារាងទี่ ៣ - ៦ ផែតងផ្គារប្រឈមព័ត៌មានភីការងារលេខគារនានាពេលវេលាភាសាអង់គ្គ។
តារាងទี่ ៤ - ៦ ផែតងផ្គារប្រឈមព័ត៌មានភីការងារលេខគារនានាពេលវេលាភាសាអង់គ្គ។
តារាងទี่ ៥ - ៦ ផែតងផ្គារប្រឈមព័ត៌មានភីការងារលេខគារនានាពេលវេលាភាសាអង់គ្គ។
តារាងទี่ ៦ - ៦ ផែតងផ្គារប្រឈមព័ត៌មានភីការងារលេខគារនានាពេលវេលាភាសាអង់គ្គ។
តារាងទี่ ៧ - ៦ ផែតងផ្គារប្រឈមព័ត៌មានភីការងារលេខគារនានាពេលវេលាភាសាអង់គ្គ។
តារាងទี่ ៨ - ៦ ផែតងផ្គារប្រឈមព័ត៌មានភីការងារលេខគារនានាពេលវេលាភាសាអង់គ្គ។
តារាងទี่ ៩ - ៦ ផែតងផ្គារប្រឈមព័ត៌មានភីការងារលេខគារនានាពេលវេលាភាសាអង់គ្គ។
តារាងទี่ ១០ - ៦ ផែតងផ្គារប្រឈមព័ត៌មានភីការងារលេខគារនានាពេលវេលាភាសាអង់គ្គ។
តារាងទี่ ១១ - ៦ ផែតងផ្គារប្រឈមព័ត៌មានភីការងារលេខគារនានាពេលវេលាភាសាអង់គ្គ។
តារាងទี่ ១២ - ៦ ផែតងផ្គារប្រឈមព័ត៌មានភីការងារលេខគារនានាពេលវេលាភាសាអង់គ្គ។

ការសម្រេច (Hr.)	[CN] សមុត្រ : Ce (ppm)	CN adsorption,%	capacity adsorption: q (mg/g)	[CN] សមុត្រ : Ce (ppm)	CN adsorption,%	capacity adsorption: q (mg/g)
				Diatomite		
1	0.20	59.30	0.02	0.06	88.70	0.03
3	0.20	61.10	0.02	0.05	90.70	0.03
5	0.16	68.50	0.03	0.04	91.50	0.03
7	0.15	70.40	0.03	0.03	93.80	0.04
9	0.06	87.50	0.03	<0.03	>99.00	0.04
12	0.04	91.20	0.03	<0.03	>99.00	0.04

7. เปรียบเทียบประสิทธิภาพของดูดซึมน้ำออกไซด์ออกอนิออกซิเจน Activated carbon (Filitra 300) และ ดีไนเบิร์ก (Diatomite) ที่ดูดซึมน้ำออกไซด์ออกอนิออกซิเจน Activated carbon (Filitra 300) และ ดีไนเบิร์ก (Diatomite) เมื่อความเข้มข้นของเชยานินต์ ต่างกัน

ตารางที่ ค - 7 แสดงผลการเปรียบเทียบประสิทธิภาพและคุณสมบัติในการดูดซึมน้ำออกไซด์ออกอนิออกซิเจน Activated carbon (Filitra 300) และ ดีไนเบิร์ก (Diatomite) เมื่อความเข้มข้นของเชยานินต์ ต่างกัน

Activated Carbon (Filitra 300)				Diatomite			
[CN] ดีนั่นต์ : Co (ppm)	[CN] สมุดต์ : Ce (ppm)	CN adsorption,%	capacity adsorption: q (mg/g)	[CN] สมุดต์ : Ce (ppm)	CN adsorption,%	capacity adsorption: q (mg/g)	
0.50	0.05	90.60	0.03	0.03	95.00	0.04	
1.00	0.07	93.20	0.07	0.06	94.20	0.07	
5.00	0.42	91.50	0.34	0.44	91.30	0.34	
10.00	0.69	93.10	0.70	1.49	85.10	0.64	
20.00	1.63	91.90	1.38	4.38	78.10	1.17	
30.00	3.21	89.30	2.01	8.18	72.70	1.64	

ภาคผนวก ง

การวิเคราะห์หาพื้นที่ผิว

การวัดขนาดอนุภาคโดยทั่วไป มักจะแสดงผลในรูปของเส้นผ่านศูนย์กลางของทรงกลม ซึ่งเป็นการแสดงผลในมิติเดียว และไม่สามารถบอกความแตกต่างลักษณะผิวของวัสดุที่มีรูปร่างไม่แน่นอน ซึ่งเป็นลักษณะโดยทั่วไปของอนุภาค การที่ผิวของอนุภาคไม่เรียบ จะมีผลให้พื้นที่ผิวโดยรวมของอนุภาคเพิ่มมากขึ้น และลักษณะโครงสร้างภายในอนุภาคจะทำให้มีพื้นที่ผิวมากขึ้นไปอีก ลักษณะเช่นนี้ ในสารเคมีตั้งต้นจะมีผลต่ออัตราการเกิดปฏิกิริยาเคมี จึงจำเป็นต้องมีการวิเคราะห์หาพื้นที่ผิวของอนุภาคเริ่มต้น

หลักการวิเคราะห์พื้นที่ผิวของเครื่อง Surface analysis

ถ้าเราทราบปริมาตรของก๊าซที่ความดันหนึ่ง แล้วให้มันขยายตัวเข้าไปในอีกปริมาตรหนึ่ง ที่อุณหภูมิคงที่ เรา ก็สามารถหาความดันใหม่นั้นได้ โดยการคำนวณ โดยใช้สูตร

$$\frac{P_1 V_1}{T_1} = \frac{P_2 V_2}{T_2}$$

กลไกในการ Adsorb ของ N₂ บนพื้นที่ผิว

กลไกในการ adsorb ของ N₂ บนพื้นผิวแบ่งเป็น 4 ขั้นตอน

ขั้นตอนที่ 1 เมื่อป้อนก๊าซในตอรเจนเข้าไปในของแข็งที่อุณหภูมิ 77 องศาเคลวิน เพียงเล็กน้อย และปล่อยเข้าสู่สมดุลโมเลกุลของในตอรเจนจะเริ่มถูกดูดซับบนพื้นผิวของของแข็ง

ขั้นตอนที่ 2 เมื่อเพิ่มความดันของก๊าซในตอรเจน ก๊าซในตอรเจนจะปักคุณพื้นที่ผิวของของแข็ง เพิ่มขึ้นฟอร์มเป็นชั้นที่ 1 ซึ่งที่ขั้นตอนนี้จะใช้สมการ BET ในการคำนวณค่าพื้นที่ผิวของของแข็ง

ขั้นตอนที่ 3 เมื่อเพิ่มความดันของก๊าซขึ้นอีกจะมีโมเลกุลในตอรเจนปักคุณพื้นผิวของของแข็งหนาขึ้นเป็นหลายชั้น

ขั้นตอนที่ 4 เมื่อเพิ่มความดันของก๊าซในตอรเจนต่อไปก็จะเกิดการปักคลุมของโมลเกล ในตอรเจนอย่างสมบูรณ์บนพื้นผิว ซึ่งในขั้นตอนนี้มีประโยชน์ต่อการหาขนาดของรูพรุนปริมาตรและ การกระจายขนาดของรูพรุน

ส่วนประกอบของเครื่องวิเคราะห์พื้นที่ผิว รุ่น ASAP 2000

ระบบ ASAP 2000 แยกออกเป็น 2 ส่วน คือ ส่วนการวิเคราะห์ (analyzer) และส่วนควบคุม (control module) ดังแสดงในรูปที่ ง – 1

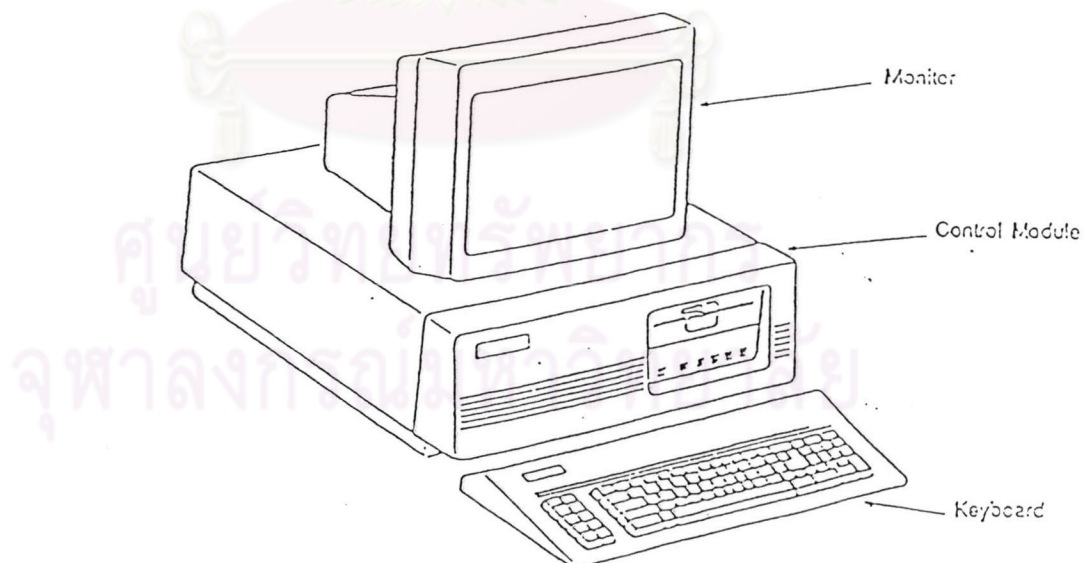
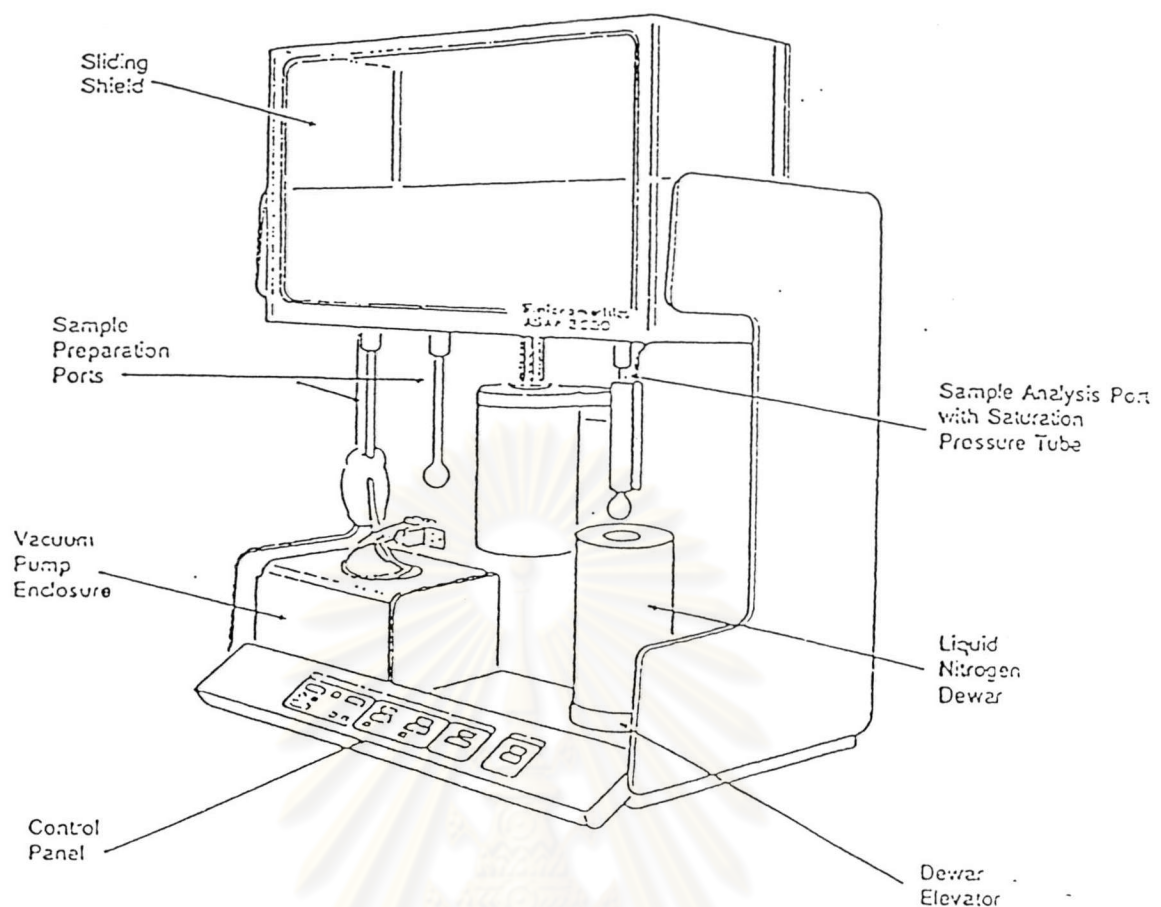
1. ส่วนการวิเคราะห์ (analyzer) แยกออกเป็น 2 ส่วน คือ ส่วนการเตรียมตัวอย่างและ ส่วนการวิเคราะห์ตัวอย่าง

1.1 ส่วนการเตรียมตัวอย่างจะมี 2 port เพื่อไม่ให้เสียเวลาในการวิเคราะห์ในกรณีที่ตัวอย่างที่ 1 วิเคราะห์เสร็จเรียบร้อยแล้ว port ที่ 2 ก็พร้อมทำการวิเคราะห์ได้ทันที ในส่วนการเตรียมตัวอย่างนี้ มีระบบสูญญากาศเพื่อลดความชื้นและสิ่งเจือปนออกจากสารตัวอย่าง โดยมีถุงสือ ความร้อนและเทอร์มินคัปเปล ติดตั้งอยู่ด้านล่าง 2 ชุด เพื่อให้การลดความชื้นและสิ่งเจือปนเป็นไปอย่างมีประสิทธิภาพ

1.2 ส่วนการวิเคราะห์สารตัวอย่าง จะมีเพียง 1 port ซึ่งวิเคราะห์พื้นที่ผิวตัวอย่างและมีท่อความดันอิมตัว Po ติดตั้งอยู่ติดกับท่อวิเคราะห์สารตัวอย่างจากนี้ที่ด้านล่างยังมีเครื่องยกอัตโนมัติกระเบาะน้ำแข็งที่บรรจุในตอรเจนเหลวเพื่อยกกระเบาะในตอรเจนเหลวขึ้นมาควบคุม อุณหภูมิในหลอดสารตัวอย่างให้คงที่ ที่อุณหภูมิ 77 องศาเคลวิน

นอกจากนี้ยังมี cold trap (ซึ่งมีหน้าที่จับสิ่งสกปรกจากไอน้ำมัน) ตั้งอยู่ระหว่างส่วนการเตรียมตัวอย่างและส่วนการวิเคราะห์สารตัวอย่าง และยังมีพลาสติกเลื่อนป้องกัน (slide shield) สามารถเลื่อนขึ้นลงได้เพื่อความปลอดภัยและความสะดวกในการทำงาน

2. ส่วนควบคุม (control module) ประกอบด้วยคีย์บอร์ด จอภาพ และเครื่องพิมพ์ ใช้ในการควบคุม ตั้งค่าตัวแปรต่างๆ ประสานการทำงานกับส่วน analyzer และ เป็นส่วนประเมินผลพื้นที่ผิว ของสารตัวอย่าง และการกระจายขนาดรูพรุน



รูปที่ ง-1 ส่วนประกอบของเครื่องวิเคราะห์พื้นที่ผิว ASAP 2000

การเตรียมตัวอย่างและอุปกรณ์ในการวิเคราะห์พื้นที่ผิวด้วยเครื่อง ASAP 2000

การเตรียมตัวอย่าง

โดยทั่วไปผงตัวอย่างมักดูดความชื้น และสิ่งเจือปนในบรรยากาศได้่ายจึงควรนำตัวอย่างที่จะใช้ในการวิเคราะห์พื้นที่ผิวไปบดให้แห้งเสียก่อน หลังจากนั้นจึงนำตัวอย่างมาใส่ความชื้นและสิ่งเจือปนอีกครั้งที่ส่วนการเตรียมตัวอย่าง เพื่อให้ได้น้ำหนักสารตัวอย่างที่แน่นอน สำหรับปริมาณตัวอย่างที่จะใช้วิเคราะห์พื้นที่ผิวความมีปริมาณพื้นที่ผิวอย่างต่ำ 10 ตารางเมตร ซึ่งถ้ามีตัวอย่างน้อยกว่านี้อาจมีผลให้ข้อมูลที่ได้ผิดพลาด แต่ถ้าใส่ตัวอย่างมากเกินไปจะเสียเวลาวิเคราะห์โดยไม่จำเป็น แต่มีข้อควรระวัง คือ ถ้าสารตัวอย่างที่มีพื้นที่ผิวสูงมาก ก็จะใช้สารมีปริมาณเพียงเล็กน้อยซึ่งอาจทำให้การซั่งน้ำหนักเกิดความผิดพลาดได้่าย เป็นผลให้การวิเคราะห์พื้นที่ผิวผิดพลาดด้วย

การเตรียมอุปกรณ์

อุปกรณ์ที่ใช้ในการวิเคราะห์พื้นที่ผิวประกอบด้วยหลอดใส่สารตัวอย่าง แท่งแก้ว ห่วงยาง (O-ring) และจุกยาง

ก่อนที่จะนำหลอดใส่สารตัวอย่างและแท่งแก้วมาใช้ ต้องทำความสะอาด โดยใช้แปรงจุ่มน้ำซุ่ม ทำความสะอาดภายในหลอดและ rinse ด้วยน้ำร้อนและอะซิโตนแล้วนำไปใส่ในเครื่องทำความสะอาดอุตสาหกรรมให้ลิ้งสกปรกหลุดออกจากหมุด แล้วจึงนำไปบดให้แห้ง ในการใช้อุปกรณ์เหล่านี้ควรให้อยู่ใน set เดียวทั้งหมด เพื่อความสะอาดและไม่สับสนในการซั่งน้ำหนักแต่ละครั้ง

**ศูนย์แพทย์การ
จุฬาลงกรณ์มหาวิทยาลัย**

ภาคผนวก จะ

Scanning Electron Microscope (SEM)

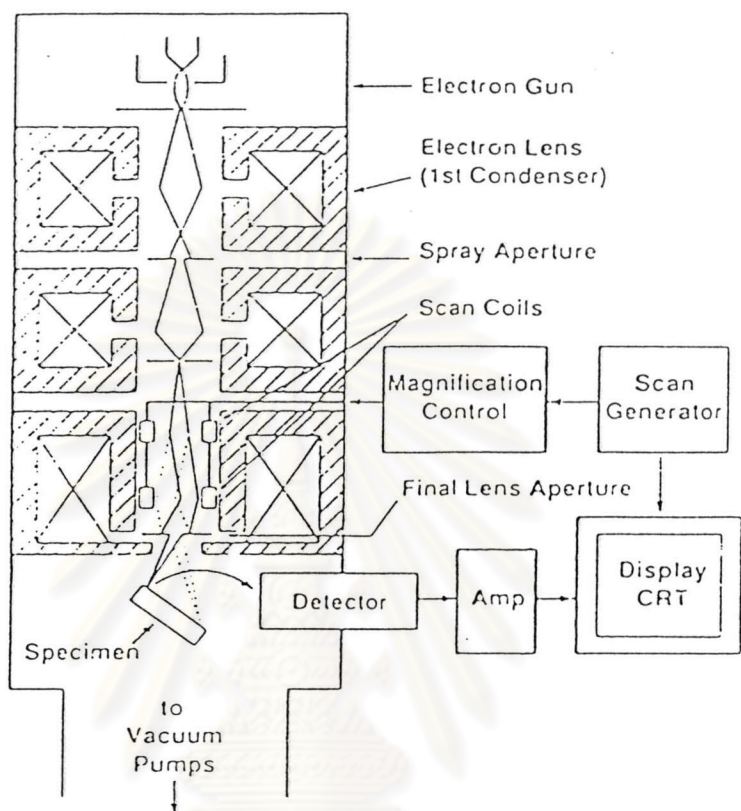
กล้องจุลทรรศน์อิเล็กตรอน (Scanning Electron Microscope หรือ SEM) เป็นเครื่องมือที่ใช้ในการศึกษาลักษณะและวิเคราะห์รายละเอียดโครงสร้างขนาดเล็กของวัตถุ เนื่องจากมีกำลังขยายสูงกว่ากล้อง optical Microscope ทั่วไป ในปัจจุบันเครื่อง SEM ได้ถูกพัฒนาให้มีกำลังขยายสูงขึ้น เพื่อขยายขอบเขตความสามารถในการทำงานจนในปัจจุบันนี้สามารถศึกษาโครงสร้างที่มีขนาดเล็กในระดับนาโนเมตรได้ นอกจากนี้ได้นำเครื่อง Wavelength Dispersive Spectrometer (WDS) หรือเครื่อง Energy Dispersive Spectrometer (EDS) มาประกอบเข้ากับเครื่อง SEM เพื่อให้สามารถทำการวิเคราะห์ธาตุของปีรากของสารตัวอย่างได้จากบริเวณที่ต้องการศึกษาจริง โดยการวิเคราะห์สามารถทำได้ทั้งแบบ qualitative และ quantitative

หลักการทำงานของเครื่อง SEM

เครื่อง SEM จะประกอบด้วยส่วนประกอบสำคัญต่างๆ ดังรูป จ-1 เมื่อพิจารณาตามหลักการทำงานของเครื่องสามารถแบ่งออกได้เป็น 3 ระบบ คือ

- ระบบการผลิตลำอิเล็กตรอน
- ระบบการจับและถ่ายทอดสัญญาณ
- ระบบการสร้างภาพ

ในระบบการสร้างลำอิเล็กตรอนจะถูกสร้างขึ้นในส่วนประกอบของเครื่อง ที่เรียกว่า ปืนอิเล็กตรอน (Electron gun) ซึ่งในปืนอิเล็กตรอนจะประกอบด้วยส่วนประกอบต่างๆ มีไส้หลอด (filament) จำนวนมากใช้โลหะทั้งสแตนต์ออยู่กับแหล่งกำเนิดไฟฟ้า ทำหน้าที่เป็นขั้วคาโทด Wehnelt cap ทำหน้าที่เป็นขั้วอาโนด เมื่อให้ความต่างศักย์เข้าไปสูงเกินกว่าค่า work function ของโลหะทั้งสแตนต์อิเล็กตรอนจากไส้หลอดจะหลุดออกมาระหว่างไบยังขั้วอาโนด โดยวิ่งผ่าน Wehnelt cap หรือ Grip cap ที่ทำหน้าที่เป็นตัวควบคุมให้อิเล็กตรอนวิ่งออกจากขั้วคาโทดเป็นลำผ่านไบยังขั้วอาโนด จากนั้นอิเล็กตรอนจะถูก Condense ให้เป็นลำโดยอิเล็กตรอนเลนซ์ ซึ่งจะทำหน้าที่เป็น condenser lens เพื่อบังคับให้อิเล็กตรอนนั้นวิ่งไปยังชิ้นงานที่ต้องการวิเคราะห์ทดสอบ



รูปที่ ๑-๑ ส่วนประกอบของเครื่อง SEM

ศูนย์วิทยทรัพยากร
จุฬาลงกรณ์มหาวิทยาลัย

เมื่ออิเล็กตรอนวิ่งชนวัตถุที่นำมากทดสอบจะเกิดปฏิกิริยาต่างๆขึ้น โดยพลังงานส่วนหนึ่งของอิเล็กตรอนจะสูญเสียไปเป็นพลังงานความร้อน และที่เหลือจะทำให้เกิดสัญญาณต่างๆ ตามความลึกของอิเล็กตรอนที่กระทบกับวัสดุ

การเตรียมสารตัวอย่าง

ขั้นตอนยักบรวมชาติของสารและข้อมูลที่ต้องการ การเตรียมสารที่สำคัญได้แก่

สารตัวอย่างผง : สามารถกระจายผงบน stud โดยตรงหรืออัดผงเป็นก้อน ก่อนก็ได้

พื้นผิวที่ขัดแล้ว : ทำได้โดยขัดด้วยกระดาษ SiC แล้วขัดต่อด้วยผงขัดที่ละเอียด เช่น diamond paste แต่รายละเอียดโครงสร้างขนาดเด็กจะสามารถเห็นได้ต่อเมื่อนำพื้นผิวที่ขัดแล้วไปผ่านกระบวนการ etching ด้วยความร้อนหรือเคมี

พื้นผิวที่หัก (Fracture surface) ปกติเตรียมจากการทดสอบค่าทางกล

ข้อสังเกต : ดังที่กล่าวแล้วเมื่ออิเล็กตรอนชนสารตัวอย่างจะเกิด SEs และ BSEs ซึ่งจะมีประจุบางส่วนเหลืออยู่บนสารตัวอย่างและในลงสูญเสียติดถ้าสารตัวอย่างนั้นนำไปไฟฟ้า ถ้าสารตัวอย่างนั้นไม่นำไฟฟ้าจะเกิดศักย์ไฟฟ้าบนสารตัวอย่าง ซึ่งอาจสูงพจนเป็นเสมือนกระจกอิเล็กตรอน (electron mirror) สะท้อนลำอิเล็กตรอนออกจากสารตัวอย่างไปสูญเสียทางเดินอิเล็กตรอน

ดังนั้นเพื่อป้องกันกระบวนการนี้ จึงควรเคลือบสารตัวอย่างที่ไม่นำไฟฟ้าด้วยทอง กราไฟต์ หรือแพลทินัม-พัลเลเดียม

ข้อมูลที่ได้จากเครื่อง SEM

ขั้นตอนยักบชนิดของสารตัวอย่าง

สารตัวอย่างผง

- รูปร่าง จะได้รูปร่างต่างๆของอนุภาค เช่น รูปร่างทรงกลม วงรี เกล็ด หรืออื่นๆ
- ขนาด จะได้ขนาดและการกระจายขนาดของอนุภาค

พื้นผิวที่ขัดแล้ว

- ขนาดรูปเปิด รูปเปิดและรูปปั่งซึ่งจะแสดงถึงระดับความหนาแน่นของสารตัวอย่าง
- ขนาดแกรน ขนาดแกรนและการกระจายจะแสดงถึงกระบวนการ sintering และบทบาทของตัวเติม (additives)
- การกระจายเฟต การแยกและทำแน่นของเฟตที่สอง (secondary phase) จะแสดงถึงบทบาทและการเข้ากันได้

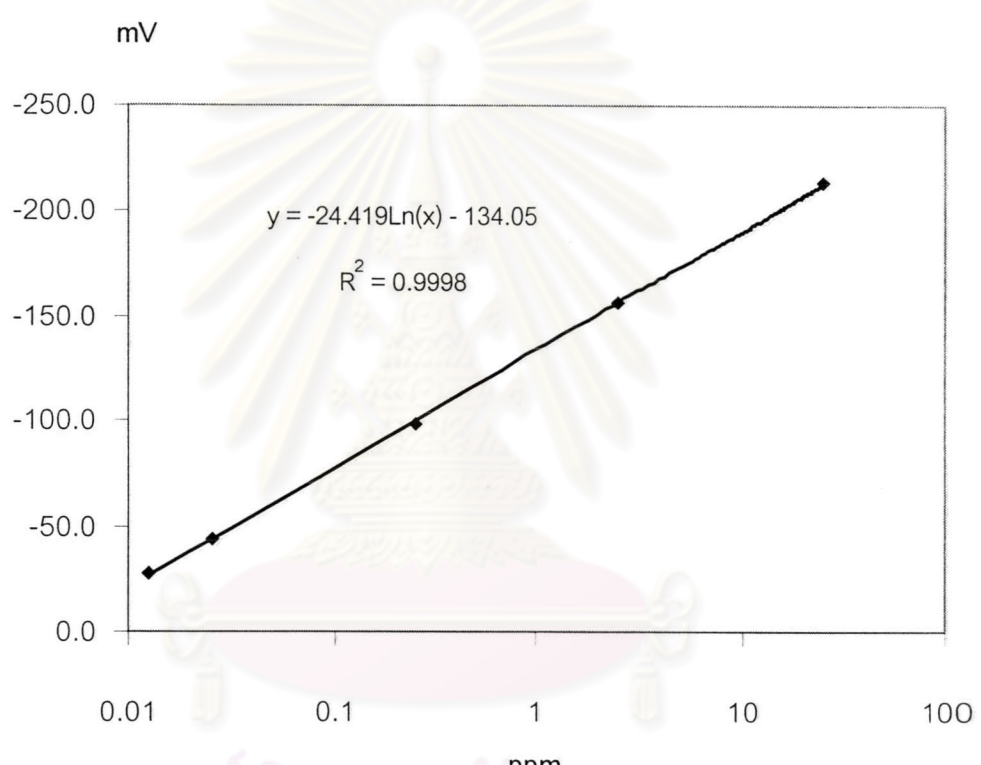
พื้นผิวที่หัก

จะได้ข้อมูลรอยแตก ซึ่งอาจเป็นรอยแตกระหว่างแgn (intergrain) หรือรอยแตกผ่านแgn (intragrain) ซึ่งรอยแตกเหล่านี้มักเกิดจากทำแน่นที่อ่อนที่สุดในสารตัวอย่าง เช่น ทำแน่นรูปเปิดบริเวณเฟตที่สอง หรือบริเวณที่มีรอยแตกเล็กๆ (microcracks)

ศูนย์วิทยทรัพยากร
จุฬาลงกรณ์มหาวิทยาลัย

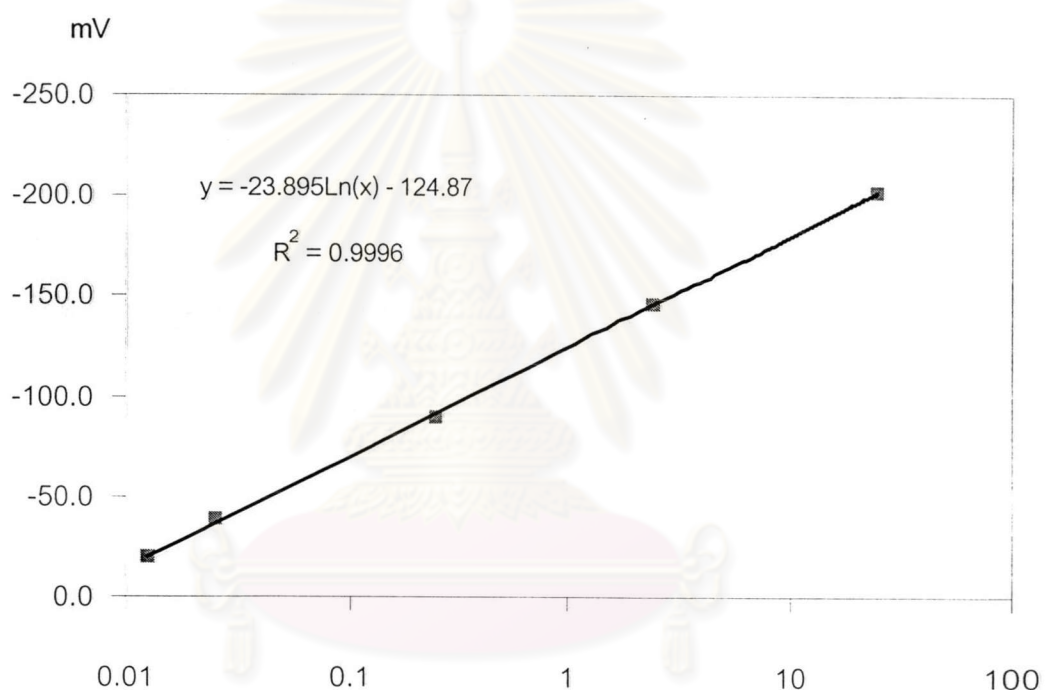
ภาคผนวก ฉ

1. กราฟสารละลายน้ำตរรุสานของไซยาไนด์ไอโอกอน เพื่อหาปริมาณตัวคูดซับและตัวถูกคูดซับ และพีเอชของสารละลายน้ำที่เหมาะสมต่อการคูดซับด้วยดินเปา



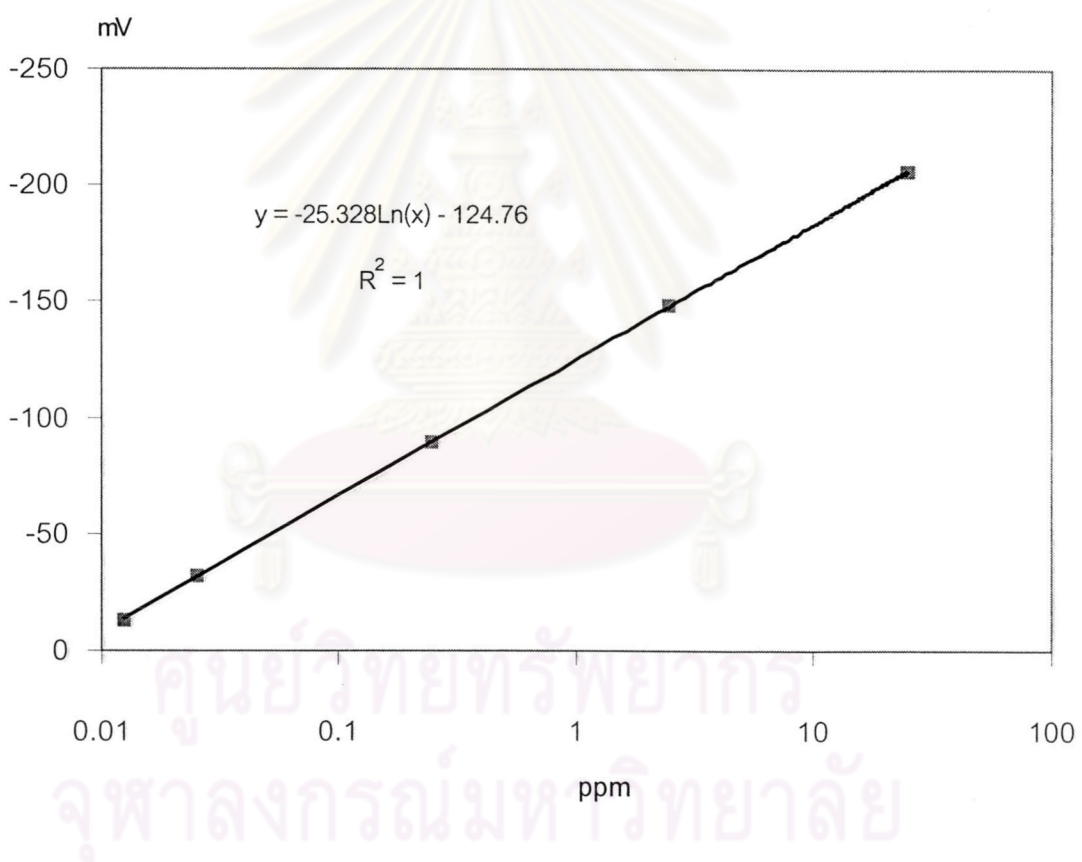
ศูนย์วิทยทรัพยากร
จุฬาลงกรณ์มหาวิทยาลัย

2. กราฟสารละลายน้ำตื้นของไซยาไนด์ไอโอดิน เพื่อหาความเข้มข้นของสารละลายน้ำตื้นที่เหมาะสมในการดูดซับด้วยดินเปา

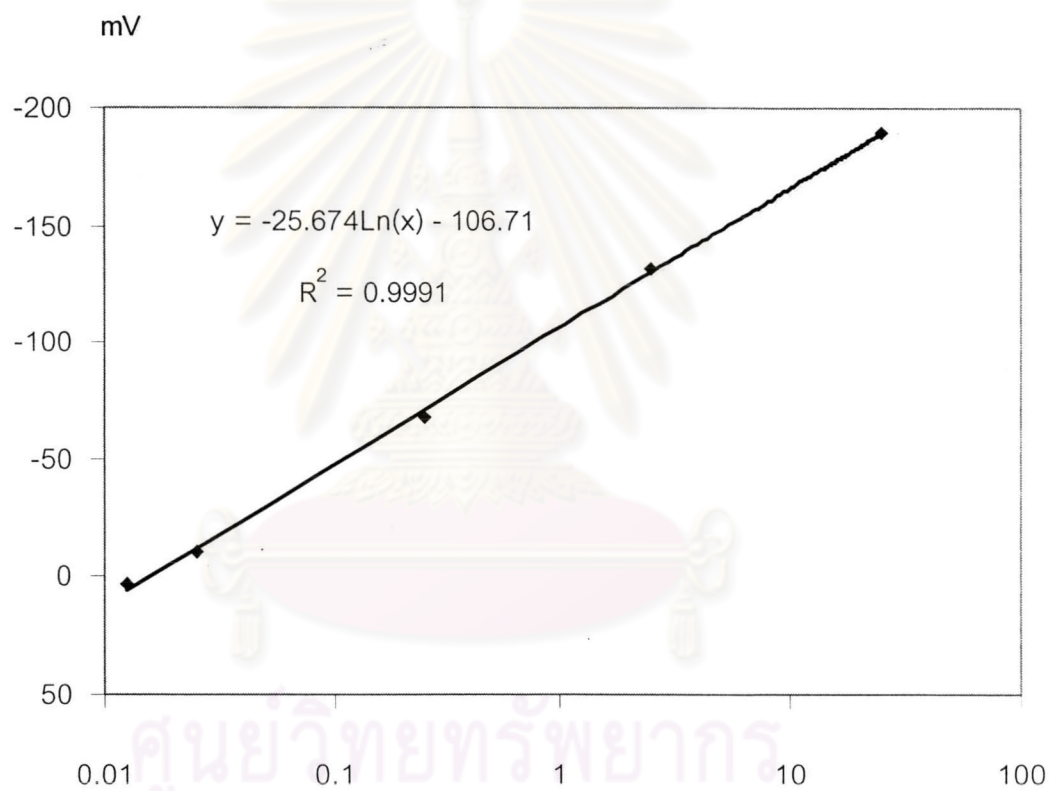


ศูนย์วิทยทรัพยากร
จุฬาลงกรณ์มหาวิทยาลัย

3. กราฟสารละลายน้ำรูปสี่เหลี่ยมไข่ในดีไอคอน เพื่อหาเวลาสัมผัสที่เหมาะสมในการดูดซับด้วยดินเปา



4. กราฟสารละลายน้ำรูขานไชยาในดีไออ่อน เพื่อเปรียบเทียบประสิทธิภาพการดูดซับระหว่างดินเบา และถ่านกัมมันต์



ประวัติผู้เขียนวิทยานิพนธ์

นางสาวศุภวรรณ เกตุคุ้ม เกิดเมื่อวันที่ 27 กันยายน 2517 ที่จังหวัดปราจีนบุรี สำเร็จการศึกษาระดับปริญญาตรี วิทยาศาสตรบัณฑิต สาขาวิชาวิทยาศาสตร์ทั่วไป(สิ่งแวดล้อม) คณะวิทยาศาสตร์ จุฬาลงกรณ์มหาวิทยาลัย ในปี พ.ศ. 2540 ด้วยทุนกรุงวิทยาศาสตร์บริการ กระทรวงวิทยาศาสตร์เทคโนโลยี และสิ่งแวดล้อม และบรรจุเข้ารับราชการเพื่อใช้ทุนฯ ที่กองการศึกษาเคมีปฏิบัติ กรมวิทยาศาสตร์บริการ กระทรวงวิทยาศาสตร์เทคโนโลยี และสิ่งแวดล้อม ตั้งแต่เดือน มิถุนายน พ.ศ. 2540 ในตำแหน่งนักวิทยาศาสตร์ระดับ 3 หลังจากนั้นจึงได้รับการคัดเลือกเข้าศึกษาต่อในระดับปริญญาโท หลักสูตรวิทยาศาสตรบัณฑิต สาขาวิชาเคมีศาสตร์สภาวะแวดล้อม จุฬาลงกรณ์มหาวิทยาลัย ในปี พ.ศ. 2543 จนกระทั่งสำเร็จการศึกษา ในภาคเรียนที่ 1 ปีการศึกษา 2545

**ศูนย์วิทยทรัพยากร
จุฬาลงกรณ์มหาวิทยาลัย**